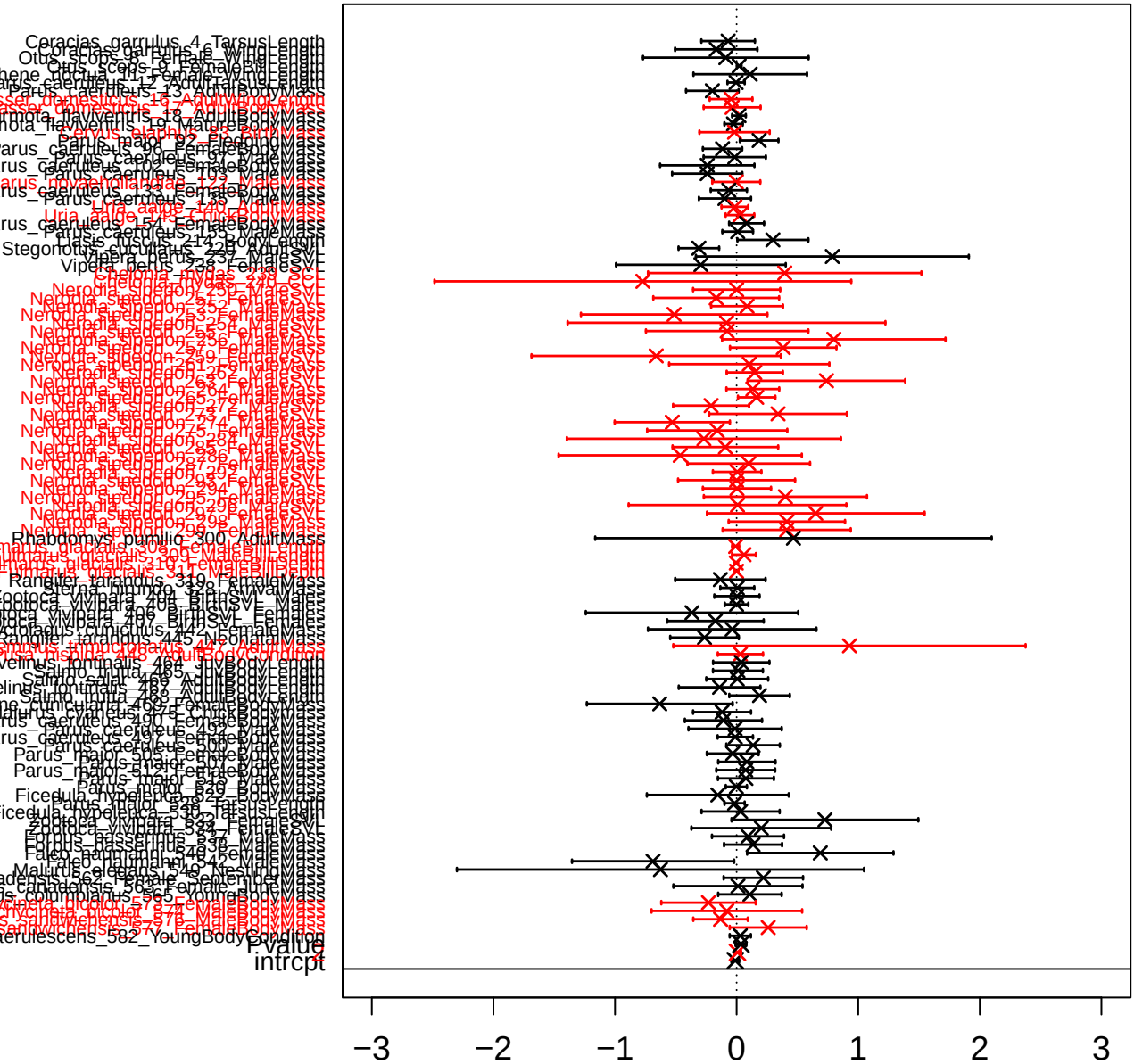
Ceracias_garrulus_4_TarsusLength
Otus_scops_9_FemaleBillLength
Parus_caeruleus_13_AdultBodyMass
Parus_caeruleus_96_FemaleBodyMass
Parus_caeruleus_133_FemaleBodyMass
Parus_caeruleus_135_MaleMass
Parus_caeruleus_157_FemaleBodyMass
Parus_caeruleus_193_MaleMass
Parus_caeruleus_214_BodyLength
Vipera_berus_238_FemaleSVL
Nerodia_sipedon_252_MaleSVL
Nerodia_sipedon_253_FemaleSVL
Nerodia_sipedon_256_MaleMass
Nerodia_sipedon_261_FemaleMass
Nerodia_sipedon_264_MaleMass
Nerodia_sipedon_273_MaleSVL
Nerodia_sipedon_274_FemaleSVL
Nerodia_sipedon_284_MaleSVL
Nerodia_sipedon_286_FemaleMass
Nerodia_sipedon_287_FemaleMass
Nerodia_sipedon_294_MaleSVL
Nerodia_sipedon_295_MaleMass
Nerodia_sipedon_297_FemaleSVL
Nerodia_sipedon_298_MaleMass
Rhabdomys_pumilio_300_AdultMass
Rana_temporaria_405_BirthSVL
Rana_temporaria_406_BirthSVL
Rana_temporaria_407_BirthSVL
Rana_temporaria_442_FemaleMass
Rana_temporaria_445_NeonatalMass
Salmo_trutta_464_AdultBodyLength
Salmo_trutta_466_AdultBodyLength
Parus_caeruleus_467_FemaleBodyMass
Parus_caeruleus_468_MaleMass
Parus_caeruleus_469_FemaleBodyMass
Parus_caeruleus_470_MaleBodyMass
Parus_caeruleus_471_FemaleBodyMass
Parus_caeruleus_472_MaleBodyMass
Parus_caeruleus_473_FemaleBodyMass
Parus_caeruleus_474_MaleBodyMass
Parus_caeruleus_475_FemaleBodyMass
Parus_caeruleus_476_MaleBodyMass
Parus_caeruleus_477_FemaleBodyMass
Parus_caeruleus_478_MaleBodyMass
Parus_caeruleus_479_FemaleBodyMass
Parus_caeruleus_480_MaleBodyMass
Parus_caeruleus_481_FemaleBodyMass
Parus_caeruleus_482_MaleBodyMass
Parus_caeruleus_483_FemaleBodyMass
Parus_caeruleus_484_MaleBodyMass
Parus_caeruleus_485_FemaleBodyMass
Parus_caeruleus_486_MaleBodyMass
Parus_caeruleus_487_FemaleBodyMass
Parus_caeruleus_488_MaleBodyMass
Parus_caeruleus_489_FemaleBodyMass
Parus_caeruleus_490_MaleBodyMass
Parus_caeruleus_491_FemaleBodyMass
Parus_caeruleus_492_MaleBodyMass
Parus_caeruleus_493_FemaleBodyMass
Parus_caeruleus_494_MaleBodyMass
Parus_caeruleus_495_FemaleBodyMass
Parus_caeruleus_496_MaleBodyMass
Parus_caeruleus_497_FemaleBodyMass
Parus_caeruleus_498_MaleBodyMass
Parus_caeruleus_499_FemaleBodyMass
Parus_caeruleus_500_MaleBodyMass
Parus_caeruleus_501_FemaleBodyMass
Parus_caeruleus_502_MaleBodyMass
Parus_caeruleus_503_FemaleBodyMass
Parus_caeruleus_504_MaleBodyMass
Parus_caeruleus_505_FemaleBodyMass
Parus_caeruleus_506_MaleBodyMass
Parus_caeruleus_507_FemaleBodyMass
Parus_caeruleus_508_MaleBodyMass
Parus_caeruleus_509_FemaleBodyMass
Parus_caeruleus_510_MaleBodyMass
Parus_caeruleus_511_FemaleBodyMass
Parus_caeruleus_512_MaleBodyMass
Parus_caeruleus_513_FemaleBodyMass
Parus_caeruleus_514_MaleBodyMass
Parus_caeruleus_515_FemaleBodyMass
Parus_caeruleus_516_MaleBodyMass
Parus_caeruleus_517_FemaleBodyMass
Parus_caeruleus_518_MaleBodyMass
Parus_caeruleus_519_FemaleBodyMass
Parus_caeruleus_520_MaleBodyMass
Parus_caeruleus_521_FemaleBodyMass
Parus_caeruleus_522_MaleBodyMass
Parus_caeruleus_523_FemaleBodyMass
Parus_caeruleus_524_MaleBodyMass
Parus_caeruleus_525_FemaleBodyMass
Parus_caeruleus_526_MaleBodyMass
Parus_caeruleus_527_FemaleBodyMass
Parus_caeruleus_528_MaleBodyMass
Parus_caeruleus_529_FemaleBodyMass
Parus_caeruleus_530_MaleBodyMass
Parus_caeruleus_531_FemaleBodyMass
Parus_caeruleus_532_MaleBodyMass
Parus_caeruleus_533_FemaleBodyMass
Parus_caeruleus_534_MaleBodyMass
Parus_caeruleus_535_FemaleBodyMass
Parus_caeruleus_536_MaleBodyMass
Parus_caeruleus_537_FemaleBodyMass
Parus_caeruleus_538_MaleBodyMass
Parus_caeruleus_539_FemaleBodyMass
Parus_caeruleus_540_MaleBodyMass
Parus_caeruleus_541_FemaleBodyMass
Parus_caeruleus_542_MaleBodyMass
Parus_caeruleus_543_FemaleBodyMass
Parus_caeruleus_544_MaleBodyMass
Parus_caeruleus_545_FemaleBodyMass
Parus_caeruleus_546_MaleBodyMass
Parus_caeruleus_547_FemaleBodyMass
Parus_caeruleus_548_MaleBodyMass
Parus_caeruleus_549_FemaleBodyMass
Parus_caeruleus_550_MaleBodyMass
Parus_caeruleus_551_FemaleBodyMass
Parus_caeruleus_552_MaleBodyMass
Parus_caeruleus_553_FemaleBodyMass
Parus_caeruleus_554_MaleBodyMass
Parus_caeruleus_555_FemaleBodyMass
Parus_caeruleus_556_MaleBodyMass
Parus_caeruleus_557_FemaleBodyMass
Parus_caeruleus_558_MaleBodyMass
Parus_caeruleus_559_FemaleBodyMass
Parus_caeruleus_560_MaleBodyMass
Parus_caeruleus_561_FemaleBodyMass
Parus_caeruleus_562_MaleBodyMass
Parus_caeruleus_563_FemaleBodyMass
Parus_caeruleus_564_MaleBodyMass
Parus_caeruleus_565_FemaleBodyMass
Parus_caeruleus_566_MaleBodyMass
Parus_caeruleus_567_FemaleBodyMass
Parus_caeruleus_568_MaleBodyMass
Parus_caeruleus_569_FemaleBodyMass
Parus_caeruleus_570_MaleBodyMass
Parus_caeruleus_571_FemaleBodyMass
Parus_caeruleus_572_MaleBodyMass
Parus_caeruleus_573_FemaleBodyMass
Parus_caeruleus_574_MaleBodyMass
Parus_caeruleus_575_FemaleBodyMass
Parus_caeruleus_576_MaleBodyMass
Parus_caeruleus_577_FemaleBodyMass
Parus_caeruleus_578_MaleBodyMass
Parus_caeruleus_579_FemaleBodyMass
Parus_caeruleus_580_MaleBodyMass
Parus_caeruleus_581_FemaleBodyMass
Parus_caeruleus_582_YoungBodyMass
P.value
intrcpt
−3
−2
−1
0
1
2
3
Indirect effect of temperature on pop GR